

## บทที่ 2

### หลักการและทฤษฎี

#### 2.1 เทอร์โมไชฟอน (Thermosyphon)

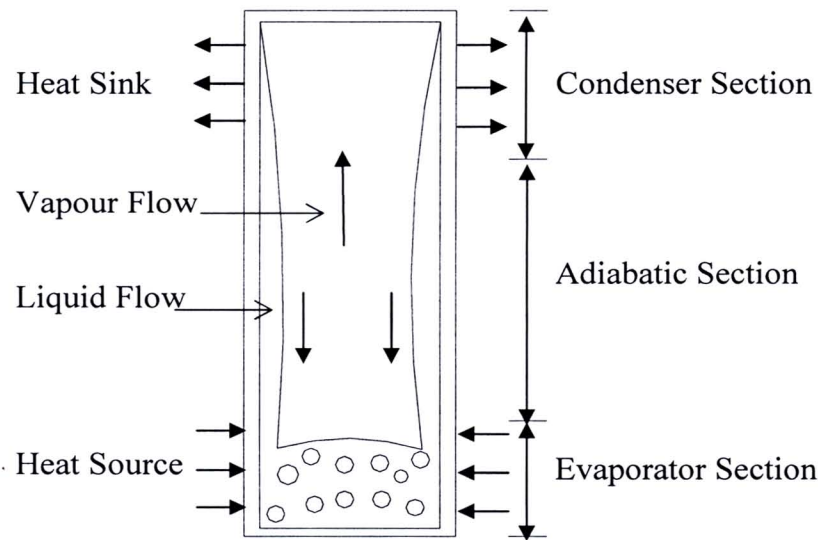
เทอร์โมไชฟอนเป็นอุปกรณ์ถ่ายเทความร้อนที่มีการทำงานโดยอาศัยหลักการเดือด และการกลับตัวของสารทำงานที่บรรจุอยู่ภายใน ซึ่งมีคุณสมบัติพิเศษคือ มีค่าการนำความร้อนสูงมาก เพราะค่าความร้อนแฟงของการระเหยของสารทำงานมีค่าสูงมาก จึงสามารถถ่ายเทความร้อนได้ปริมาณมากจากปลายด้านหนึ่งไปยังอีกด้านหนึ่ง แม้ว่าจะมีค่าความแตกต่างของอุณหภูมิที่ปลายทั้งสองด้านเพียงเล็กน้อย (ประดิษฐ์, 2536) สามารถแบ่งออกได้เป็นสองชนิดคือ เทอร์โมไชฟอนแบบท่อปิดผนึกและเทอร์โมไชฟอนแบบวงรอบ

##### 2.1.1 เทอร์โมไชฟอนแบบท่อปิดผนึก

ลักษณะของเทอร์โมไชฟอนแบบท่อปิดผนึกสามารถอธิบายได้ดังรูป 2.1 คือ มีสารทำงานบรรจุอยู่ภายในภาชนะปิดซึ่งเป็นสูญญากาศและมีส่วนประกอบที่สำคัญอยู่ 3 ส่วน คือ ส่วนทำระเหย ส่วนคงที่ของความร้อน และส่วนควบแน่น

หลักการทำงาน คือ เมื่อส่วนทำระเหยได้รับความร้อนจากแหล่งจ่ายความร้อน สารทำงานในสถานะของเหลวที่บรรจุอยู่ภายในจะร้อนขึ้นและเดือดร้อนกลายเป็นไอ ไหลดผ่านส่วนคงที่ของความร้อนขึ้นไปยังส่วนควบแน่นที่จะหายความร้อนออกสู่แหล่งรับความร้อน สารทำงานในสถานะไอจะควบแน่นเป็นของเหลวแล้วให้กลับสู่ส่วนทำระเหยเพื่อรับความร้อนอีก โดยอาศัยแรงโน้มถ่วงของโลก

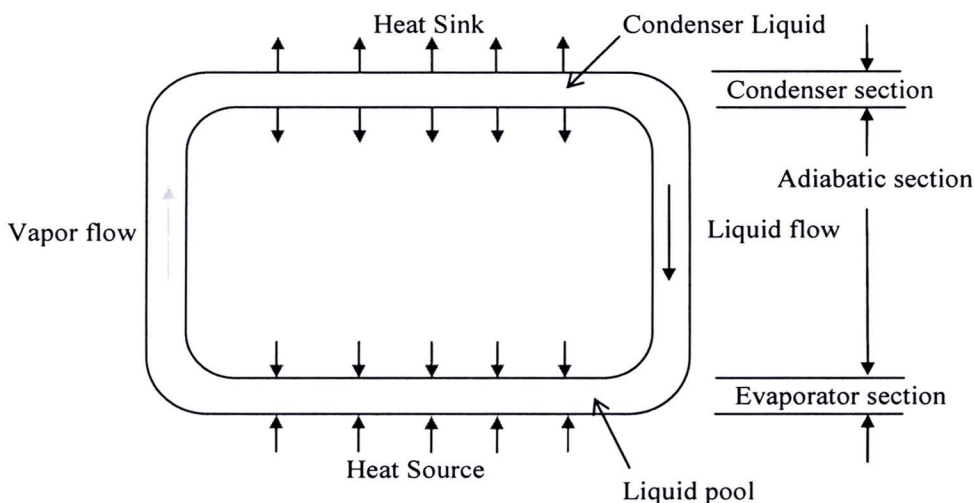
ความสามารถในการส่งผ่านความร้อนของเทอร์โมไชฟอน ขึ้นอยู่กับหลายปัจจัยด้วยกัน เช่น ขนาดท่อ ชนิดท่อ ลักษณะการติดตั้งท่อ ชนิดของสารทำงาน อุณหภูมิของแหล่งความร้อนกับแหล่งความเย็น และสัดส่วนการเติมสารทำงาน เป็นต้น



รูป 2.1 แสดงลักษณะของเทอร์โมไชฟ่อนแบบท่อปิดผนึก

### 2.1.2 เทอร์โมไชฟ่อนแบบวงรอบ

เทอร์โมไชฟ่อนแบบวงรอบ (Loop Thermosyphon) เป็นการพัฒนาสมรรถนะของเทอร์โมไชฟ่อนอีกรูปแบบหนึ่ง โดยมีการไหลของของไหหลวหรือสารทำงานในสถานะของเหลวและสถานะไอจะไม่ไหลสวนทางกันทำให้ช่วยลดปัญหาการเกิดการหลุดติดของเหลวไปปนกับไอที่กำลังถอยขึ้น (Entrainment) และเพิ่มความคล่องตัวในการวางแผนตำแหน่งของส่วนทำระหว่างและส่วนควบคุมแน่น



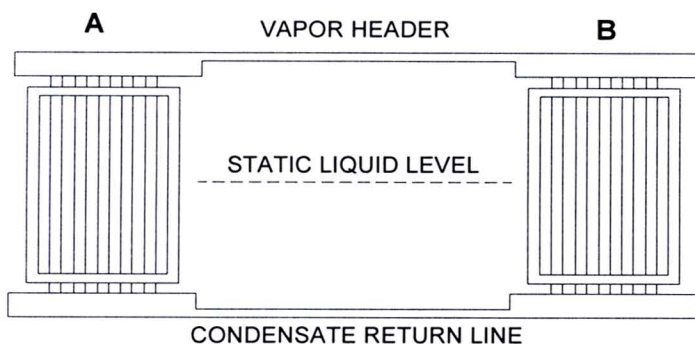
รูป 2.2 แสดงลักษณะของเทอร์โมไชฟ่อนแบบวงรอบ

ลักษณะของเทอร์โมไชฟอนแบบวงรอบสามารถอธิบายได้ในรูป 2.2 ในหนึ่งวงรอบประกอบด้วยส่วนทำระเหย และส่วนควบแน่น ต่อ กันด้วยท่อส่งไอระเหยและท่อส่งของเหลวควบแน่นกลับ โดยจะวางส่วนทำระเหยและส่วนควบแน่นให้อยู่ในระดับแนวนอน โดยส่วนทำระเหยจะอยู่ต่ำกว่าส่วนควบแน่น ซึ่งจะทำให้การไหลของสารทำงานเป็นไปในทิศทางเดียว เรียกว่า เทอร์โมไชฟอนแบบวงรอบชนิดทางเดียว (Unidirectional loop thermosyphon) คือสามารถถ่ายเทความร้อนได้เพียงทางเดียวจากส่วนทำระเหยไปยังส่วนควบแน่น และจะหยุดการถ่ายเทความร้อนลงทันทีถ้าอุณหภูมิของส่วนควบแน่นสูงกว่าส่วนทำระเหย

สำหรับหลักการทำงานของเทอร์โมไชฟอนแบบวงรอบนี้ มีหลักการทำงานเหมือนกับ เทอร์โมไชฟอนแบบท่อปิดผนึก จะแตกต่างกันที่จะไม่มีการไหลสวนทางกันระหว่าง ไอกับ ของเหลวของสารทำงาน แต่ก็อาศัยแรงโน้มถ่วงของโลกเช่นเดียวกัน

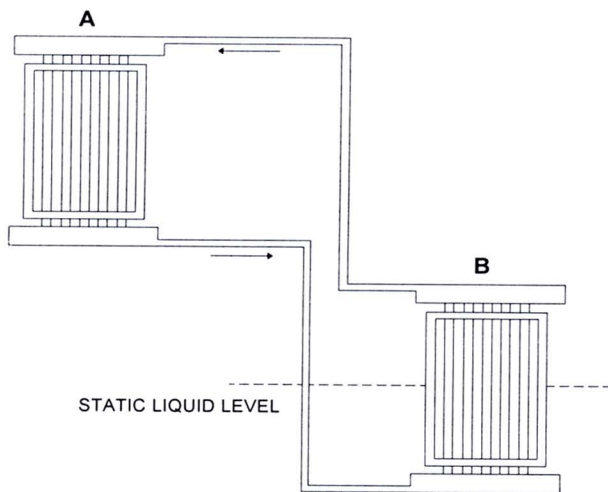
#### 2.1.2.1 การใช้งานของเครื่องแลกเปลี่ยนความร้อนเทอร์โมไชฟอนแบบวงรอบ แบ่งออกได้เป็น 2 ลักษณะดังนี้

1) วางส่วนทำระเหยและส่วนควบแน่นให้อยู่ในระดับแนวนอนเดียวกันซึ่ง เรียกว่า เครื่องแลกเปลี่ยนความร้อนเทอร์โมไชฟอนแบบวงรอบชนิดสองทิศทาง (Bidirectional Loop Thermosyphon Heat Exchanger) ดังแสดงในรูป 2.3 เครื่องสามารถที่จะถ่ายเทความร้อนได้ ส่องทิศทาง คือ จาก A ไป B และ จาก B ไป A ถ้าอุณหภูมิของ A ต่ำกว่าของ B ความร้อนจะ ถ่ายเทจาก B ไปยัง A แต่ถ้าอุณหภูมิของ B ต่ำกว่าของ A ความร้อนจะถ่ายเทจาก A ไปยัง B



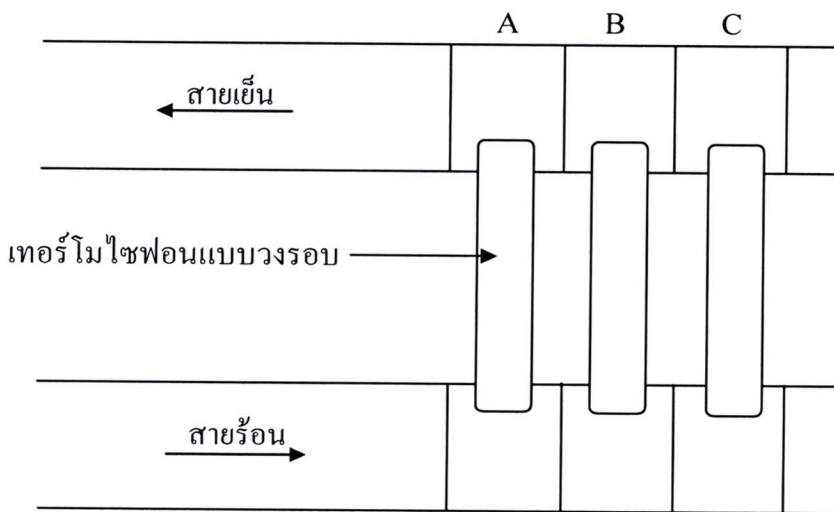
รูป 2.3 เครื่องแลกเปลี่ยนความร้อนเทอร์โมไชฟอนแบบวงรอบชนิดสองทิศทาง

2) วางส่วนทำระเหยให้อยู่สูงกว่าส่วนควบแน่น ซึ่งเรียกว่า เครื่องแลกเปลี่ยนความร้อนเทอร์โมไชฟอนแบบวงรอบชนิดทิศทางเดียว (Unidirectional Loop Thermosyphon Heat Exchanger) ดังแสดงในรูป 2.4 เครื่องสามารถที่จะถ่ายเทความร้อนได้เพียงทางเดียว คือ จาก B ไป A และการถ่ายเทความร้อนหยุดลงทันทีในกรณีที่อุณหภูมิของ A สูงกว่าของ B



รูป 2.4 เครื่องแลกเปลี่ยนความร้อนเทอร์โมไชฟอนแบบวงรอบชนิดทิศทางเดียว

เทอร์โมไชฟอนแบบวงรอบชนิดทิศทางเดียว โดยทั่วไปจะมีประสิทธิภาพในการทำงานสูงกว่าเทอร์โมไชฟอนแบบวงรอบชนิดสองทิศทาง เพราะห้องคอยล์และถุงอาจจะออกแบบให้เหมาะสมที่สุดเพียงสภาวะใดสภาวะหนึ่ง ไม่ว่ากรณีใดก็ตามการนำพลังงานที่มีอยู่กลับมาใช้ให้ได้ในสัดส่วนที่สูง ทำได้โดยนำเทอร์โมไชฟอนแบบวงรอบหลายๆ ชุดมาต่ออนุกรมระหว่างท่อส่งเข้าและท่อปล่อยทิ้ง เพื่อที่จะให้เครื่องแลกเปลี่ยนความร้อนใหม่แบบสวนทางกันซึ่งจะทำให้มีประสิทธิภาพรวมสูงกว่ามีเพียงถุงเดียว ดังแสดงในรูป 2.5



รูป 2.5 เทอร์โมไชฟอนแบบวงรอบหลายๆ ชุดที่ต่อเรียงกัน



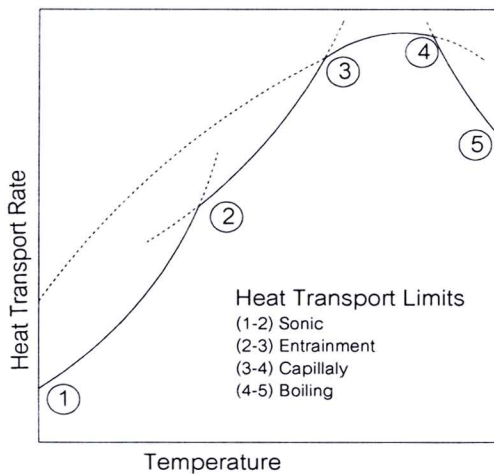
### 2.1.2.2 ลักษณะเด่นของเทอร์โมไชฟอนแบบวงรอบ [สารอช., 2540] ได้แก่

- 1) มีอัตราการถ่ายเทความร้อนต่อพื้นที่หน้าตัดหนึ่งหน่วยของท่อความร้อนสูงกว่า อัตราการนำความร้อนของเท่งโลหะที่มีพื้นที่หน้าตัดเท่ากัน
- 2) ไม่จำเป็นต้องใช้แรงกดยอกกระทำต่อตัวมันเองในการทำงาน
- 3) อุณหภูมิใช้งานมีช่วงกว้าง สามารถทำงานได้แม้ผลต่างระหว่างแหล่งจ่ายความร้อนกับแหล่งรับความร้อนมีค่าน้อย และใช้งานได้ทั้งที่อุณหภูมิสูงและอุณหภูมิต่ำ เมื่อเลือกการทำงานให้เหมาะสมกับช่วงอุณหภูมิใช้งาน
- 4) ปัญหาการชำรุดรักษาไม่น้อยและไม่มีเสียงดังเพราะ ไม่มีส่วนที่เคลื่อนไหว
- 5) ไม่มีปัญหาการปนเปื้อนกัน (Contaminant) ระหว่างของใหม่ที่ต้องการแลกเปลี่ยนความร้อนกับของใหม่ทำงาน
- 6) มีโครงสร้างอย่างง่ายๆ น้ำหนักเบาและรูปร่างกะทัดรัด
- 7) สามารถแยกส่วนทำระเหยหรือส่วนรับความร้อนกับส่วนควบแน่นหรือส่วนขยายความร้อนให้ออกห่างจากกัน ได้ จึงสามารถประยุกต์ใช้งานได้อย่างกว้างขวาง และยังทำให้สะดวกต่อการติดตั้งด้วย
- 8) การตอบสนองเชิงความร้อนเกิดขึ้นได้ดี เนื่องจากการถ่ายเทความร้อนเกิดขึ้นในรูปของความร้อนແ戍 การตอบสนองเชิงความร้อนจึงรวดเร็วและสามารถรับการเปลี่ยนแปลงของแหล่งจ่ายความร้อนได้ดี

### 2.1.3 ข้อจำกัดอัตราการถ่ายเทความร้อนสูงสุดของเทอร์โมไชฟอน

สมรรถนะในการถ่ายเทความร้อนของเทอร์โมไชฟอนจะขึ้นอยู่กับตัวแปรต่างๆ เช่น ปริมาณการเติมสารทำงาน มุมเอียง สัดส่วนความยาวของส่วนต่างๆ ของท่อ ชนิดของสารทำงาน ปริมาณความร้อนที่ป้อนเข้าสู่ส่วนทำระเหย หากมีการกำหนดหรือควบคุมตัวแปรต่างๆ ในการสร้างเทอร์โมไชฟอนหรือการนำไปใช้งาน ไม่เหมาะสม ก็จะทำให้เทอร์โมไชฟอนมีความสามารถในการถ่ายเทความร้อนต่ำลงหรือไม่สามารถถ่ายเทความร้อนได้ในที่สุด ผลกระทบจากการเปลี่ยนตัวแปรที่ไม่เหมาะสมจะทำให้เกิดข้อจำกัดเนื่องจากกลไกการถ่ายเทความร้อนในเทอร์โมไชฟอน ดังแสดงในรูป 2.6

สำนักงานคณะกรรมการวิจัยแห่งชาติ
ห้องสมุดงานวิจัย
วันที่ 22 พ.ย. 2555
เลขทะเบียน.....
เลขเรียกหนังสือ..... 100793



รูป 2.6 จุดจำกัดในการถ่ายเทความร้อนของท่อความร้อน

ที่มา : Engineering Science Data Unit (1981)

จุดจำกัดการถ่ายเทความร้อนที่สำคัญของเทอร์โมไชฟอนประกอบไปด้วย จุดจำกัดความดันไอ (Vapour pressure limit) จุดจำกัดความเร็วเสียง (Sonic limit) จุดจำกัดการแห้ง (Dryout limit) จุดจำกัดการเดือด (Boiling limit) และจุดจำกัดการไหลสวนทาง (Counter-current flow limit)

#### 2.1.3.1 จุดจำกัดความดันไอ (Vapour pressure limit)

เมื่อใช้เทอร์โมไชฟอนที่ความดันต่ำกว่าบรรยายกาศ ความดันตกของไอจะมีผลต่อการถ่ายเทความร้อนเทียบเท่ากับความดันในส่วนทำระเหย วิธีที่จะใช้หาจุดจำกัดความดันไอสามารถที่จะหาได้จากสมการทางทฤษฎีดังนี้

$$\frac{Q_m}{A\lambda} = \frac{D^2 P_v \rho_v}{64 \mu_v L_{eff}} \quad (2.1)$$

โดยที่

$$L_{eff} = 0.5L_e + L_a + 0.5L_c \quad (2.2)$$

#### 2.1.3.2 จุดจำกัดความเร็วเสียง (Sonic limit)

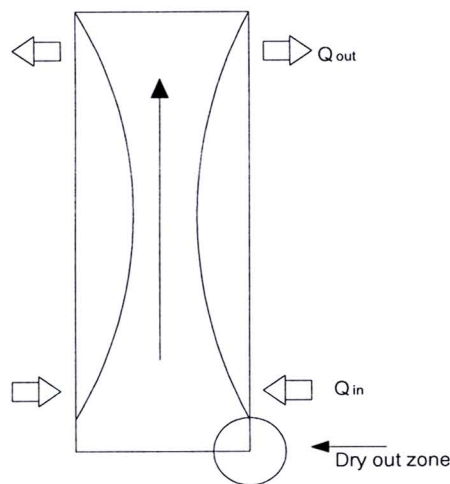
การใช้งานเทอร์โมไชฟอนที่ความดันต่ำความเร็วไอจะมีค่าเข้าใกล้ความเร็วเสียง วิธีที่จะหาจุดจำกัดความเร็วเสียงสามารถที่จะประมาณได้จากอัตราการถ่ายเทความร้อนสูงสุด ดังสมการ 2.3

$$\frac{Q_m}{A\lambda} = 0.5(P_v \rho_v)^{0.5} \quad (2.3)$$

### 2.1.3.3 ขีดจำกัดการแห้ง (Dryout limit)

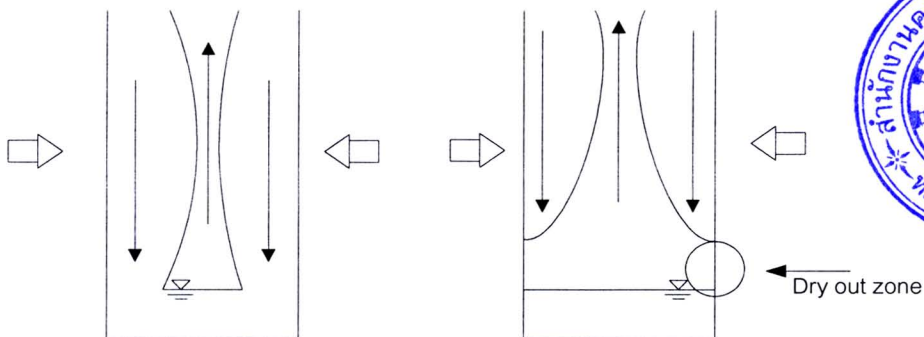
ขีดจำกัดการแห้งจะเกิดขึ้นได้ 2 กรณี คือ เมื่อเติมปริมาณสารทำงานน้อยเกินไป และเมื่อเติมปริมาณสารทำงานมากเกินไป

1) การเติมปริมาณสารทำงานน้อยเกินไป หากมีการให้ความร้อนในส่วนที่ระเหยสูงจะทำให้ของเหลวส่วนล่างเริ่มแห้ง อุณหภูมิของผนังจะค่อยๆ เพิ่มขึ้น ทำให้เกิดการไหม้ได้ แสดงดังรูป 2.7



รูป 2.7 การแห้งเมื่อปริมาณการเติมสารทำงานน้อย

2) เมื่อเติมปริมาณสารทำงานมากเกินไป จะทำให้สารทำงานระเหยกลายเป็นไอได้มากขึ้นและระดับผิวดองของเหลวลดลงอย่างช้าๆ ผลต่อมาจะมีแรงเสียดทานระหว่างความร้อนของไอกับของเหลวที่ควบแน่นสูงขึ้น จะทำให้เกิดการสะสมของของเหลวในช่วงการควบแน่นมากขึ้น ส่งผลให้เกิดการแห้งเหนือแอ่งของเหลวทำให้อุณหภูมิของผนังท่อสูงขึ้น เมื่อน้ำหนักของของเหลวที่ควบแน่นมากกว่าแรงของไอ ของเหลวจะตกลงสู่ช่วงการทำระเหยและจะทำให้อุณหภูมิของผนังแกว่งไปมา แสดงดังรูป 2.8



รูป 2.8 การแห้งเมื่อปริมาณการเติมสารทำงานมาก

#### 2.1.3.4 จุดจำกัดการเดือด (Boiling limit)

จุดจำกัดการเดือดจะเกิดขึ้นเมื่อ เกิดแผ่นฟิล์มของไอกลางที่ผนังห้องในส่วนทำระเหยซึ่ง กำหนดเป็นการถ่ายเทความร้อนสูงสุดต่อพื้นที่ดังสมการ 2.4

$$\frac{Q_m}{S_e} = 0.12 \lambda \rho_v^{0.5} [g\sigma(\rho_l - \rho_v)]^{0.25} \quad (2.4)$$

โดยที่  $S_e$  คือ พื้นที่ผิวห้องด้านในของส่วนทำระเหย

$\sigma$  คือ แรงตึงผิวของเหลว

#### 2.1.3.5 จุดจำกัดการไหลสวนทาง (Counter-current flow limit)

เมื่อการเติมสารทำงานพอเหมาะสมที่จะไม่ทำให้เกิดการแห้งขึ้น จุดจำกัดอัตราการถ่ายเทความร้อนจะขึ้นอยู่กับจุดจำกัดอื่นๆ คือจุดจำกัดการหลุดลอยของของเหลว โดยไอกลางสารทำงานที่ไหลสวนทางกับฟิล์มของเหลวซึ่งมักเรียกปรากฏการณ์นี้ว่าการท่วม (Flooding) หรือจุดจำกัดการหลุดลอย (Entrainment limit) ซึ่งอัตราการถ่ายเทความร้อนสูงสุดที่จะเกิดจุดจำกัดนี้ขึ้น หาได้จากสมการ 2.5

$$\frac{Q_m}{A\lambda} = f_1 f_2 f_3 \rho_v^{0.5} [g\sigma(\rho_l - \rho_v)]^{0.25} \quad (2.5)$$

โดยที่  $f_1$  คือ พื้นที่ของค่า Bond number ซึ่งนิยามจากค่า  $f_1$  สามารถหาได้จากรูป 2.9 ซึ่งเป็นกราฟแสดงความสัมพันธ์ระหว่าง  $Bo$  กับ  $f_1$  แต่ถ้าหาก  $Bo > 11$  แล้ว  $f_1 = 8.2$

$$Bo = d \left[ g \left( \frac{\rho_l - \rho_v}{\sigma} \right) \right]^{0.5} \quad (2.6)$$

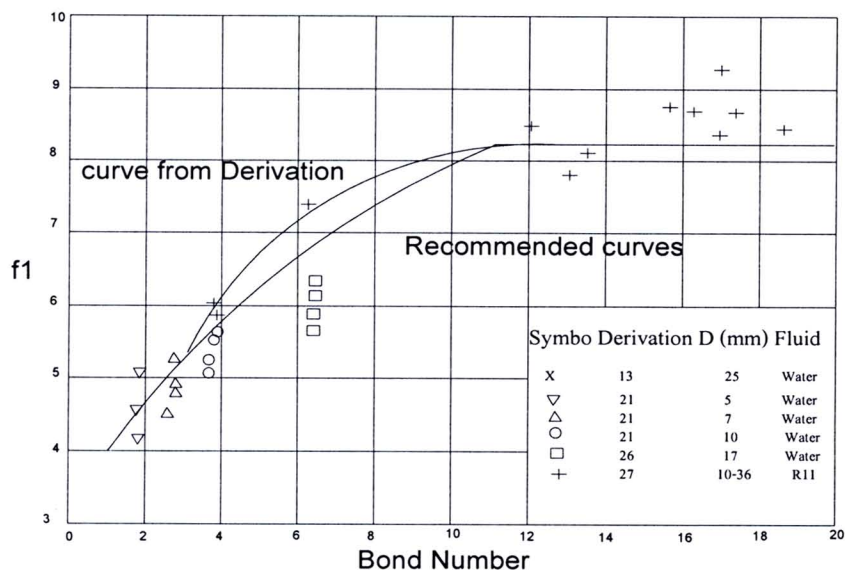
$f_2$  คือ พังก์ชั่นของตัวแปร ไร้มิติของความดัน ( $K_p$ ) ซึ่งนิยามจาก

$$K_p = \frac{P_v}{[g\sigma(\rho_l - \rho_v)]^{0.5}} \quad (2.7)$$

โดยที่  $f_2 = K_p^{-0.17}$  เมื่อ  $K_p \leq 4 \times 10^4$

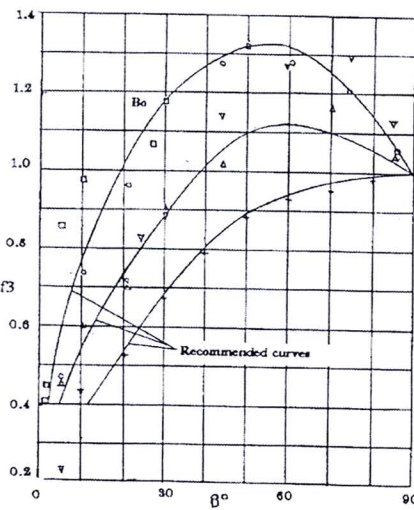
$f_2 = 0.165$  เมื่อ  $K_p > 4 \times 10^4$

$f_3$  คือ พังก์ชั่นของการเอียงท่อ เมื่อท่ออยู่ในแนวตั้ง  $f_3 = 1$  เมื่อท่อเอียงค่า  $f_3$  สามารถหาได้จากรูป 2.10 ซึ่งเป็นกราฟแสดงความสัมพันธ์ระหว่างมุมเอียงกับ  $f_3$  ที่ค่า Bo ต่างๆ ผลกระทบของ  $f_1 f_2 f_3$  เรียกว่า Kutateladza number



รูป 2.9 แสดงความสัมพันธ์ระหว่างบอนด์นัมเบอร์กับค่าปัจจัย  $f_1$

ที่มา : Engineering Science Data Unit (1981)



รูป 2.10 แสดงความสัมพันธ์ระหว่างมุมอุบัติของท่อกับ  $f_3$

ที่มา : Engineering Science Data Unit (1981)

#### 2.1.4 สัดส่วนการเติมสารทำงาน

สัดส่วนการเติมสารทำงานมีผลต่อการทำงานของเทอร์โนไซฟอน จึงมีการศึกษาสัดส่วนการเติมสารหลายค่า ซึ่งการหาปริมาตรของสารที่เติมเข้าไปในเทอร์โนไซฟอนหาได้ดังต่อไปนี้

$$F = \frac{V}{AL_e} \quad (2.8)$$

#### 2.2 การถ่ายเทความร้อน

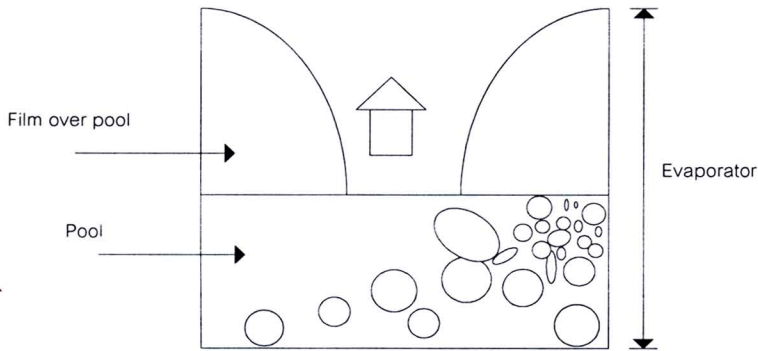
##### 2.2.1 ลักษณะการถ่ายเทความร้อน

การถ่ายเทความร้อนสามารถแบ่งออกได้ 3 แบบ คือ การนำความร้อน การพาความร้อน และการแพร่รังสีความร้อน สำหรับในเทอร์โนไซฟอนจะมีการถ่ายเทความร้อนดังนี้

###### 2.2.1.1 การถ่ายเทความร้อนในส่วนทำระเหย (Evaporator)

เมื่อป้อนความร้อนให้กับส่วนทำระเหย ความร้อนส่วนหนึ่งจะไหลผ่านผนังท่อไปยังผิวของของเหลว โดยการนำความร้อนและไหลผ่านชั้นของเหลวไปยังผิวอิสระ โดยการพาความร้อนอย่างอิสระ (Free Convection) การระเหยทั้งหมดจะเกิดขึ้นที่ผิวของของเหลว เมื่อป้อนความร้อนสูงขึ้นจะมีฟองไอเล็กๆ เกิดขึ้นและหลุด落อยู่ขึ้นมาและถ่ายตัวออกเพราความหนาแน่นน้อยกว่าของเหลวที่อยู่โดยรอบ ของเหลวที่เย็นกว่าจะดูดพลังงานความร้อนบางส่วนจากฟองไอ จนกระทั่งมีอุณหภูมิสูงขึ้นและความหนาแน่นลดลง ดังนั้นฟองไอจะลอยมาที่ผิวแล้วระเหยกล้ายเป็นไอหนึ่ง

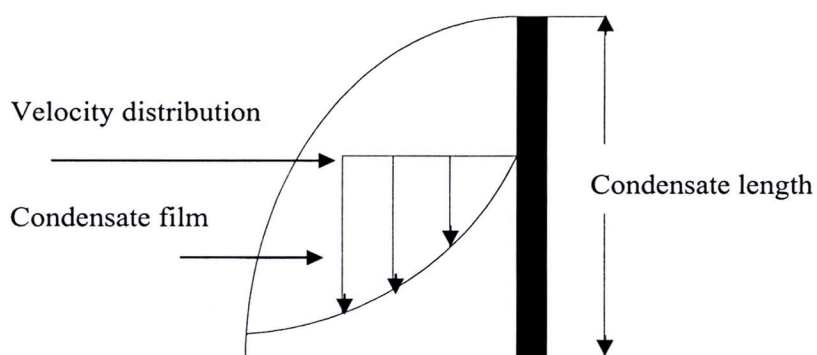
ออกจากการผิวได้ ของเหลวที่อุ่นในภาชนะจะเกิดการเดือดแบบบันป่วนแต่อุณหภูมิคงที่ ไปบางส่วนจะลอยไปสู่ช่วงการควบแน่นและควบแน่นเป็นฟิล์มของเหลวเหนือแอ่งของเหลว แสดงดังรูป 2.11



รูป 2.11 แสดงแบบจำลองการเดือดในแอ่งของส่วนทำระเหย

### 2.2.1.2 การถ่ายเทความร้อนในส่วนควบแน่น (Condenser)

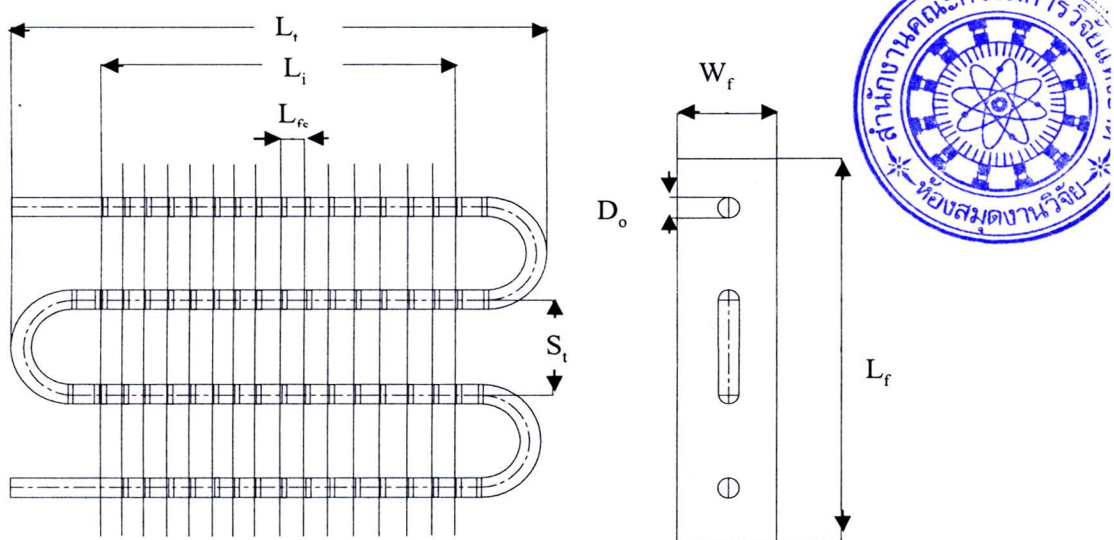
การควบแน่นหรือการกลั่นตัวจะเกิดขึ้นได้ก็ต่อเมื่อไอกื่นตัว (Saturated Vapor) สัมผัส กับผิวที่มีอุณหภูมิต่ำ ในสภาพเดียวกันก็จะเกิดฟิล์มของเหลวหรือหยดน้ำ ให้ยืดยั่งมาด้วยแรง ดึงดูดของโลก โดยมีสมมุติฐานว่าการไหลที่สัมผัสเป็นแบบราบรื่น (Laminar) และไม่คำนึงถึง แรงเนื้อ (Viscous Shear) ที่สัมผัสระหว่างไอก็มีความเร็วสูงกับฟิล์มของเหลว ฟิล์มของเหลวจะค่อยๆ เพิ่มความหนาจากบนลงสู่ส่วนล่างเป็นลักษณะ โปรไฟร์ของการไหล และ ดังรูป 2.12



รูป 2.12 การควบแน่นของผิวในแนวตั้ง

### 2.2.2 อัตราการถ่ายเทความร้อนของเทอร์โมไชฟอน

อัตราการถ่ายเทความร้อนของเทอร์โมไชฟอนแบบวงรอบ ของคอยล์แบบท่อกลมและครีบชนิดคลื่นต่อเนื่อง (Circular tube –continuous wavy fin) ที่ใช้เป็นเทอร์โมไชฟอนแบบวงรอบในการศึกษาวิจัยนี้ จะสมมติให้ว่ามีมิติต่างๆ เท่ากับคอยล์แบบท่อกลมและครีบชนิดแผ่นเรียบต่อเนื่อง (Circular tube continuous plate fin) ดังแสดงในรูป 2.13 เพราะมีรูปร่างใกล้เคียงกันและง่ายต่อการคำนวณ ซึ่งมีมิติต่างๆ ดังนี้



รูป 2.13 แสดงลักษณะของคอยล์แบบท่อกลมและครีบชนิดแผ่นเรียบต่อเนื่อง

$$N_t = N_r \cdot N_c \quad (2.9)$$

$$N_f = \frac{L_i}{L_{fs}} + 1 \quad (2.10)$$

$$A_f = 2N_f(W_f \cdot L_f - \frac{\pi D_o^2 \cdot N_t}{4}) + 2N_f \cdot L_f \cdot t_f \quad (2.11)$$

$$A_b = N_t(\pi \cdot D_o \cdot L_i - N_f \cdot t_f \cdot \pi \cdot D_o) \quad (2.12)$$

$$A_t = A_f + A_b \quad (2.13)$$

$$A_{ff} = (L_i \cdot L_f) - N_c \cdot D_o (L_i - N_t \cdot t_f) - (N_f \cdot L_f \cdot t_f) \quad (2.14)$$

$$A_{fr} = L_i \cdot L_f \quad (2.15)$$

$$D_h = \frac{4 \cdot A_{ff} \cdot W_f}{A_t} \quad (2.16)$$

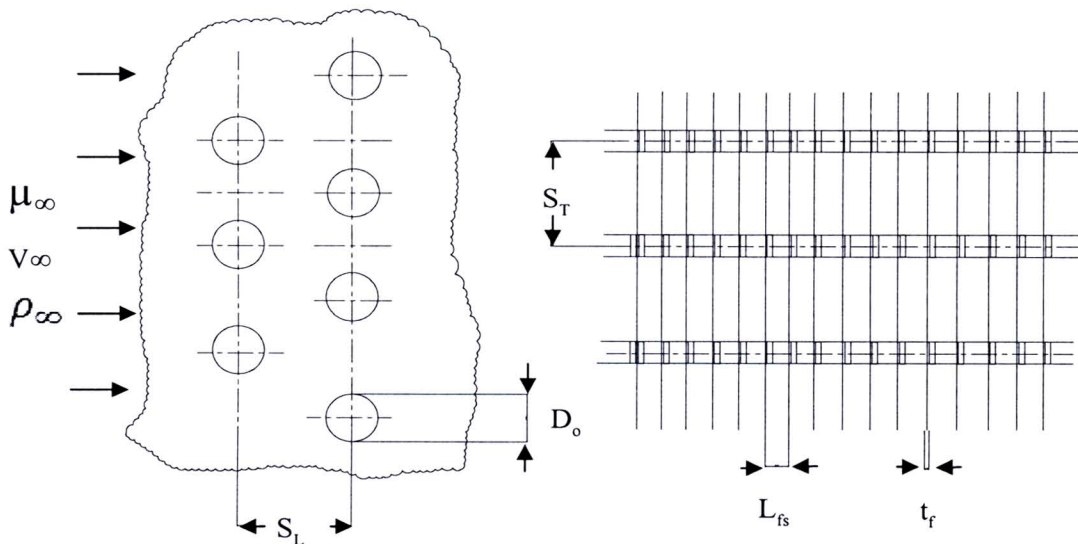
$$t_w = \frac{D_o - D_i}{2} \quad (2.17)$$

$$A = N_T \left( \pi D_o (H - N_f t_f) + 2N_f R_f \left( S_T S_L - \frac{\pi D_o^2}{4} \right) \right) \quad (2.18)$$

สำหรับค่า  $h_{eo}$  ซึ่งเป็นค่าสัมประสิทธิ์การพาความร้อนของของไหลภายในอุกคายล์สามารถหาได้จากค่าสัมประสิทธิ์การพาความร้อนของของไหลที่ไหลผ่านครีบ ( $h_f$ ) กับค่าสัมประสิทธิ์การพาความร้อนของของไหลที่ไหลผ่านท่อส่วนที่ไม่ติดครีบ ( $h_b$ ) ที่มีความสัมพันธ์ดังนี้

$$h_{eo} = \frac{(\eta_f A_f h_f + A_b h_b)}{A_t} \quad (2.19)$$

ซึ่ง  $h_f$  สามารถประมาณได้จากการใช้สมการถ่ายเทความร้อนของชั้นขอบที่ไหลแบบปั่นป่วน (Turbulent boundary layer) ผ่านแผ่นร้าบ เพราะว่าของไหลที่ไหลใกล้ครีบจะเกิดการปั่นป่วน โดยเริ่มเกิดขึ้นที่ขอบของครีบ จึงไม่มีโอกาสที่จะเกิดเป็นชั้นขอบเขตแบบชั้นๆ (Laminar boundary layer) ได้ ซึ่งค่าประมาณของ  $h_f$  ในช่วงความยาวประสิทธิผลของครีบ  $L_{eff}$  สามารถหาได้โดยใช้สมการถ่ายเทความร้อนเฉพาะที่ คือ



รูป 2.14 แสดงการจัดเรียงท่อแบบเหลี่ยมกันในอุกคายล์แบบท่อกลมและครีบชนิดแผ่นเรียบต่อเนื่อง

$$St = 0.036 \left( \frac{L_{eff} v_\infty \rho_\infty}{\mu_\infty} \right)^{-0.2} (\Pr)^{-2/3} \quad (2.20)$$

เมื่อ

$$St = \frac{h_f}{c_{p\infty} v_\infty \rho_\infty} \quad (2.21)$$

$$\Pr = \frac{c_{p\infty} \mu_\infty}{k_\infty} \quad (2.22)$$

และ  $L_{eff}$  = ความยาวประสิทธิผลของครีบเท่ากับครึ่งหนึ่งของระยะระหว่างผิวท่อที่อยู่ติดกันในแนวตั้งจากกับการไหล

$$\text{ดังนั้น} \quad L_{eff} = \frac{S_T - D_o}{2} \quad (2.23)$$

ประสิทธิภาพของครีบหาโดย

$$\eta_f = \frac{\tanh(mL_{eff})}{mL_{eff}} \quad (2.24)$$

$$\text{เมื่อ} \quad mL_{eff} = L_{eff} \sqrt{\frac{2h_f}{k_f t_f}} \quad (2.25)$$

และสำหรับ  $h_b$  สามารถประมาณหาได้จากสมการมาตรฐานสำหรับของไหลที่ไหลผ่านกลุ่มท่อ คือ

$$Nu = BC_z Re^{m'} Pr^{1/3} \quad (2.26)$$

$$\text{เมื่อ} \quad Nu = \frac{h_b D_o}{k_\infty} \quad (2.27)$$

$$G_{max} = \rho_\infty v_\infty \frac{A_{fr}}{A_{ff}} \quad (2.28)$$

$$Re = \frac{D_o G_{max}}{\mu_\infty} \quad (2.29)$$

$C_Z$  เป็นค่าตัวคูณซึ่งขึ้นอยู่กับลักษณะการจัดเรียงท่อและจำนวนถ่วง ซึ่งค่า  $C_Z$  สำหรับการจัดเรียงท่อแบบเหลี่อมกัน (Staggered alignment) แสดงดังตาราง 2.1

ตาราง 2.1 แสดงความสัมพันธ์ระหว่าง  $N_r$  กับ  $C_Z$

$N_r$	1	2	3	4	5	6	7	8	9	$\geq 10$
$C_Z$	0.68	0.75	0.83	0.89	0.92	0.95	0.97	0.98	0.99	1.00

### 2.2.2.1 การถ่ายเทความร้อนที่ส่วนทำระเหย

$$\dot{Q}_e = (\dot{m} C_p)_e \Delta T_e \quad (2.30)$$

$$\dot{Q}_e = (\dot{m} C_p)_e (T_{e,in} - T_{e,out}) \quad (2.31)$$

### 2.2.2.2 การถ่ายเทความร้อนที่ส่วนควบแน่น

$$\dot{Q}_c = (\dot{m} C_p)_c \Delta T_c \quad (2.32)$$

$$\dot{Q}_c = (\dot{m} C_p)_c (T_{c,out} - T_{c,in}) \quad (2.33)$$

## 2.2.3 ประสิทธิผลของเครื่องแอลกอเพลี่ยนความร้อนของเทอร์โนไฟฟอน

กำหนดให้อุปกรณ์แอลกอเพลี่ยนความร้อนมีประสิทธิผล ซึ่งเป็นตัวแปร ไว้暮ติที่บอกถึงความสามารถในการถ่ายเทความร้อนของอุปกรณ์แอลกอเพลี่ยนความร้อนดังนี้

$$Eff = \frac{Q}{Q_{\max}} \quad (2.34)$$

$$Eff = \frac{UA}{(\dot{m} C_p)_{\min}} \frac{\Delta T_c}{\Delta T_{\max}} \quad (2.35)$$

เมื่อ  $(\dot{m} C_p)_c < (\dot{m} C_p)_e$

$$Eff = \frac{(T_{c,out} - T_{c,in})}{(T_{e,in} - T_{c,in})} \quad (2.36)$$

หรือ

เมื่อ  $(\dot{m} C_p)_e < (\dot{m} C_p)_c$

$$Eff = \frac{(T_{e,in} - T_{e,out})}{(T_{e,in} - T_{c,in})} \quad (2.37)$$

### 2.3 การวิเคราะห์ทางเศรษฐศาสตร์

การวิเคราะห์ทางเศรษฐศาสตร์ราคาต้นทุนของอุปกรณ์จะอยู่ในรูป

$$C_T(x_i) = a^c \sum_{l=1}^n C_l^c(x_i) + b^c \quad (2.38)$$

เมื่อ

$$a^c = \frac{i(1+i)^n}{(1+i)^n - 1} \quad (2.39)$$

ราคาของพลังงานที่ประayahd ได้เมื่อมีการนำอุปกรณ์ประayahd พลังงานมาใช้ซึ่งสามารถหาได้จาก

$$C_{saving} = t_{op} c_q Q_{total} \quad (2.40)$$

ที่จุดเหมาะสม (Optimum point) ได้ผลตอบแทนสุทธิ สูงสุดคือ

$$P = C_{saving} - C_T \quad (2.41)$$

โดยที่

$c_q$  = ราคาต่อหน่วยพลังงาน (บาท/ยูนิต)

$\sum_{i=1}^n C_l^c(x_i)$  = ราคาต้นทุนของอุปกรณ์แต่ละหน่วย (บาท)

$t_{op}$  = เวลาการทำงานใน 1 ปี

$(x_i)$  = ปัจจัยที่มีผลต่อราคาอุปกรณ์

$a^c$  = Capital-recovery factor

$b^c$  = ค่าใช้จ่ายรายปี สมมุติให้คงที่

$Q$  = อัตราการถ่ายเทความร้อนที่ทำได้ (กิโลวัตต์/วินาที)

$P$  = ผลตอบแทนสุทธิ (บาท)

